

EXERCICES

Parcours SPRINT & Double Majeure PM — Année Universitaire 2023–2024

Intervenants : L. Le Guillou & J. Bolmont (Sorbonne Université / LPNHE)

TD 9

Le Photon – Effet Doppler – Effet Compton, effet Compton inverse – Annihilation électron-positron – Création de paires – Masse invariante – Découverte du boson de Higgs

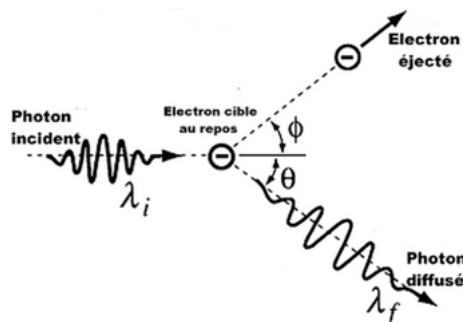
1. Effet Doppler

En utilisant le quadrivecteur énergie-impulsion du photon, retrouvez la loi de l'effet Doppler relativiste.

2. L'effet Compton

En 1923, Arthur H. Compton (1892-1962) découvre que lorsqu'un photon diffuse sur un électron, la longueur d'onde du photon diffusé est modifiée, et que ce changement de longueur d'onde $\Delta\lambda$ dépend de l'angle de diffusion θ . Ce phénomène, inexplicable par l'électromagnétisme classique, ne peut être compris que dans le cadre relativiste; la découverte de l'effet Compton établit définitivement l'idée de dualité onde-corpuscule pour le photon.

2.1 — On considère la collision d'un photon d'énergie $h\nu_i$ avec un électron libre au repos (approximation raisonnable lorsque l'énergie du photon incident est grande devant l'énergie de liaison des électrons). Ecrivez la conservation de l'énergie et de la quantité de mouvement dans le référentiel du laboratoire.



2.2 — Déduisez-en le décalage de longueur d'onde $\Delta\lambda = \lambda_f - \lambda_i$ du photon diffusé en fonction de son angle de diffusion θ .

2.3 — Expérimentalement (A. H. Compton, *Phys. Rev.*, **21** (1923), 483.), A. H. Compton trouve qu'à 90° la longueur d'onde de la raie $K\alpha$ ($\lambda_i = 0.0708$ nm) du molybdène est mesurée à $\lambda_f = 0.0730$ nm. Déduisez-en une estimation de la masse de l'électron.

2.4 — Le processus inverse de l'effet Compton, baptisé diffusion Compton inverse, se produit lorsque des électrons très énergétiques sont freinés par les photons du milieu. Ce phénomène est observé en astrophysique, par exemple lorsque les photons du rayonnement fossile micro-onde interagissent avec les électrons très énergétiques du gaz chaud d'un amas de galaxies (effet Sunyaev-Zel'dovich).

Montrez que dans ce cas, le photon diffusé *gagne de l'énergie* aux dépens de l'électron (astuce : reprendre le calcul précédent en se plaçant dans le *référentiel de l'électron après la collision*).

2.5 — Montrez qu'un processus où le photon disparaîtrait par absorption par un électron libre est impossible, du fait des lois de conservation de l'énergie et de l'impulsion. Commentez pour l'effet photoélectrique.

3. Annihilation $e^+ e^-$, création de paires

3.1 — Lorsqu'un électron rencontre son anti-particule, le positron (ou positon), ils s'annihilent mutuellement et produisent des photons, *i.e.* des particules d'énergie pure, sans masse au repos. Montrez que l'annihilation d'une paire $e^+ e^-$ ne peut pas s'effectuer en produisant un photon unique, mais au minimum deux photons (à basse énergie, l'annihilation d'une paire $e^+ e^-$ s'effectue en produisant soit deux photons (75% des cas), soit trois photons (25% des cas)).

3.2 — Un photon peut aussi disparaître et se matérialiser sous la forme d'une paire électron-positron $e^+ e^-$. Quelle est l'énergie minimale qu'un photon doit posséder pour produire une paire $e^+ e^-$?

3.3 — Montrez que ce processus de création de paire ne peut pas se produire dans le vide (il ne se produit en fait qu'en présence d'un champ électromagnétique externe, par exemple dans la matière à proximité d'un noyau atomique).

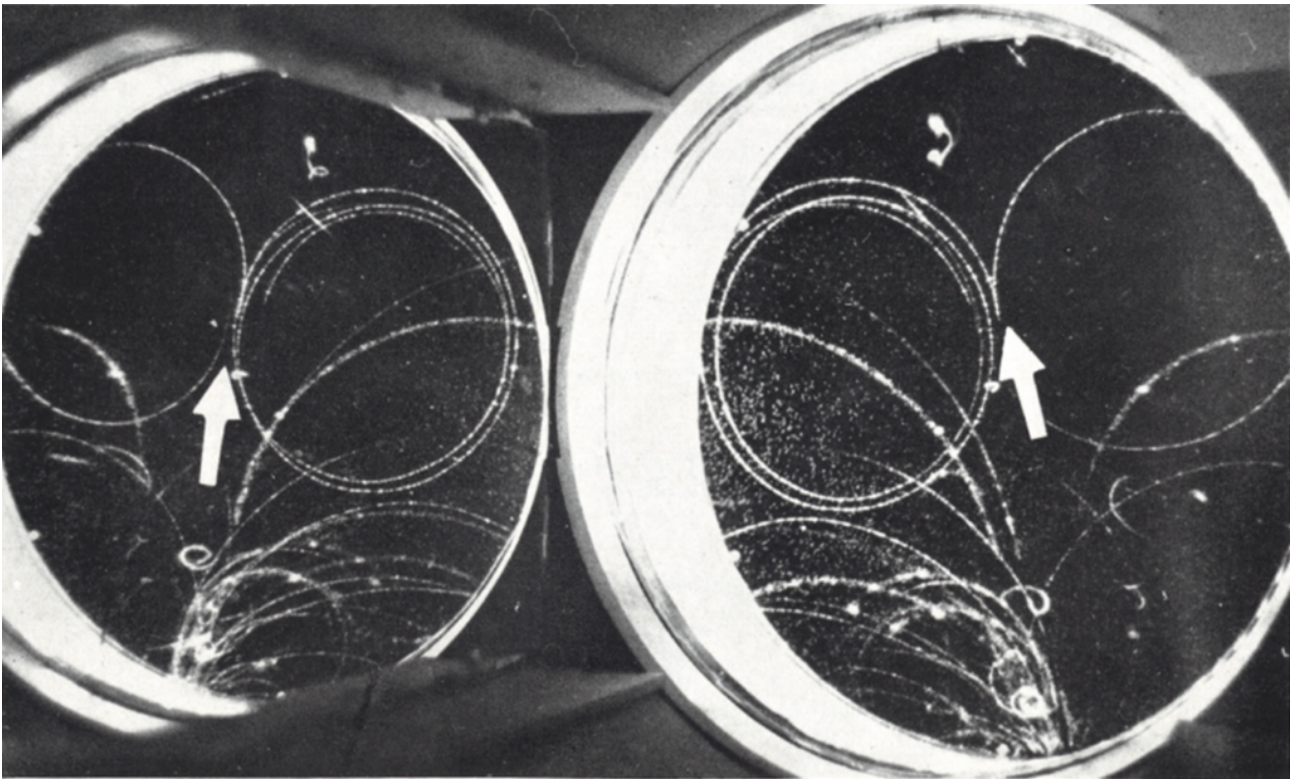


Fig. 1 – Création d'une paire électron-positron, visualisée dans une chambre à brouillard remplie de méthane sous 1.5 atm. Le diamètre de la chambre est de 30 cm, et le champ magnétique appliqué est de 0.162 T (1620 gauss). Sous l'effet du champ magnétique, l'électron et le positron tournent en sens contraire; l'électron décrit plusieurs spires. Le miroir permet de disposer d'une vue stéréoscopique des événements enregistrés sur le cliché (1949).

4. La physique au Large Hadron Collider (LHC) : découverte du boson de Higgs

Afin de comprendre la structure élémentaire de la matière, les physiciens des particules ont développé des techniques d'accélération des particules chargées (électrons, protons, ions, etc) permettant de produire des collisions à très haute énergie. L'analyse détaillée de chaque collision permet de mieux comprendre la sous-structure des particules, leurs interactions, et de découvrir de nouvelles particules. C'est ainsi qu'ont été découverts un ensemble de particules élémentaires prédites par le *Modèle Standard* : les quarks charm (c), bottom (b) et top (t); les bosons W^+ , W^- et Z ; et enfin le boson de Higgs en 2012.

Le boson de Higgs a été mis en évidence au *Large Hadron Collider* dans des collisions de protons dont l'énergie cinétique est de plusieurs téra-électrons-volts (TeV). Pour atteindre cette énergie, les protons sont injectés et accélérés dans une succession d'accélérateurs de plus en plus puissants (fig. 2). Les faisceaux de protons entrent en collision en 4 points du LHC, où sont placés 4 énormes détecteurs de particules dédiés : ATLAS, CMS, LHCb et ALICE.

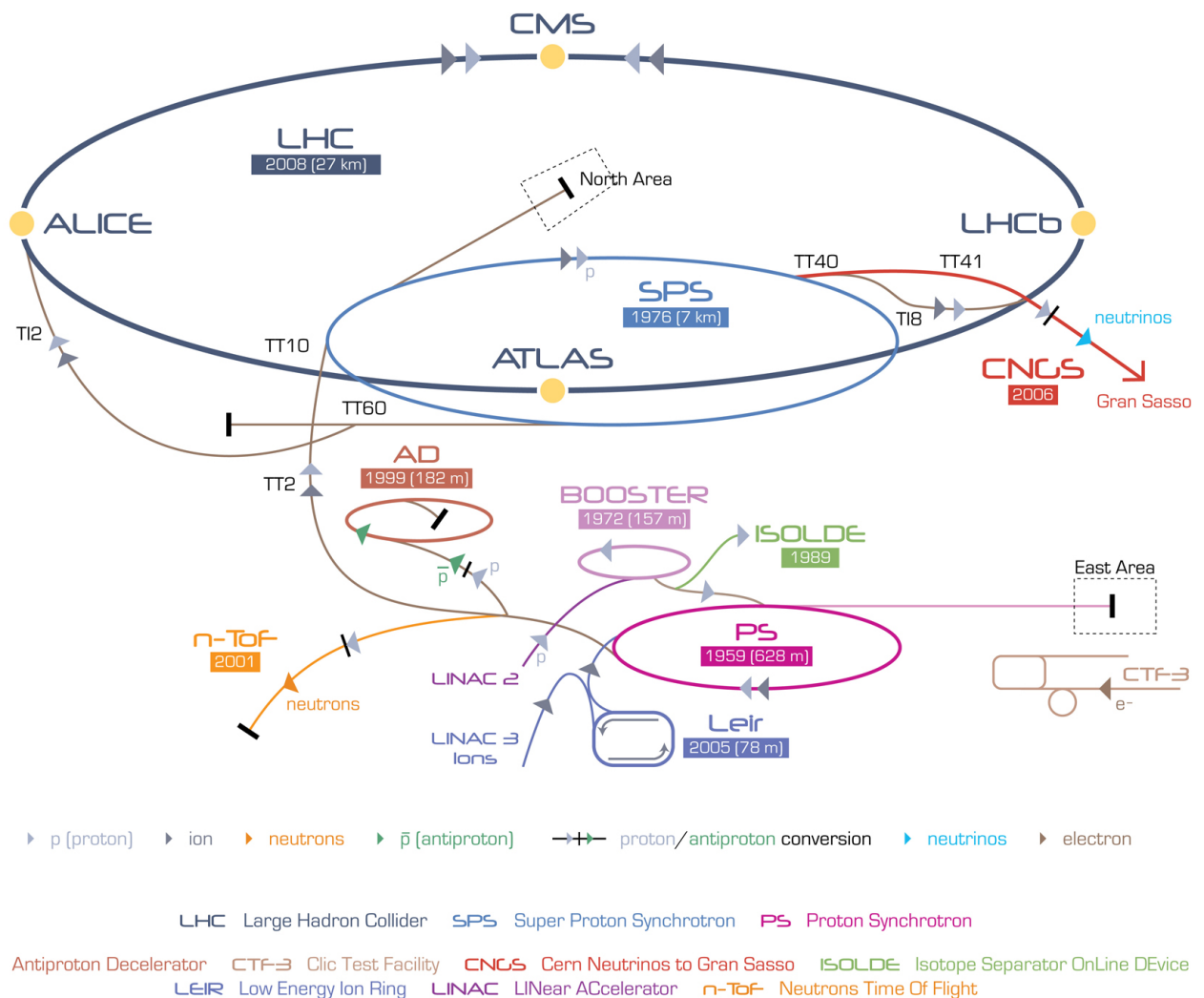


Fig. 2 – Structure des accélérateurs de particules du CERN (Genève). Les protons sont d'abord accélérés dans l'accélérateur linéaire "LINAC 2" ($T = 50$ MeV), puis injectés et accélérés dans le synchrotron "PS Booster" ($T = 1.4$ GeV), puis dans le PS ($T = 25$ GeV), le SPS ($T = 450$ GeV) et enfin le LHC lui-même ($T = 7$ TeV).

Détection du boson de Higgs dans le canal $\gamma\gamma$

Si l'énergie dans le référentiel du centre de masse est suffisante, il est possible de produire un boson de Higgs dans la collision. Le boson de Higgs est instable et peut se désintégrer de différentes manières (on parle de "voies" ou de "canaux de désintégration"). Il peut par exemple se désintégrer en deux photons gamma (canal diphoton) : cette signature est l'une des plus faciles à mettre en évidence ("canal en or").

4.1 — Ecrivez l'équation-bilan de la désintégration du boson de Higgs (noté H) en deux photons gamma. On se place dans le référentiel du boson de Higgs \mathcal{R}_H : écrivez la conservation du quadri-vecteur énergie-impulsion total avant et après la désintégration.

4.2 — Que vaut la masse invariante $m_{\gamma\gamma}$ du système formé par les deux photons issus de la désintégration du Higgs? Quelle est l'énergie de chaque photon dans le référentiel du Higgs \mathcal{R}_H ? Que vaut nécessairement l'angle entre les deux photons émis dans \mathcal{R}_H ?

4.3 — Écrivez maintenant le bilan de la désintégration du Higgs en deux photons dans le référentiel du laboratoire \mathcal{R} . Exprimez la masse invariante en fonction des énergies E_1 et E_2 de chacun des deux photons et de l'angle θ_{12} entre les deux photons. Exprimez la masse m_H du boson de Higgs en fonction de E_1, E_2 et θ_{12} .

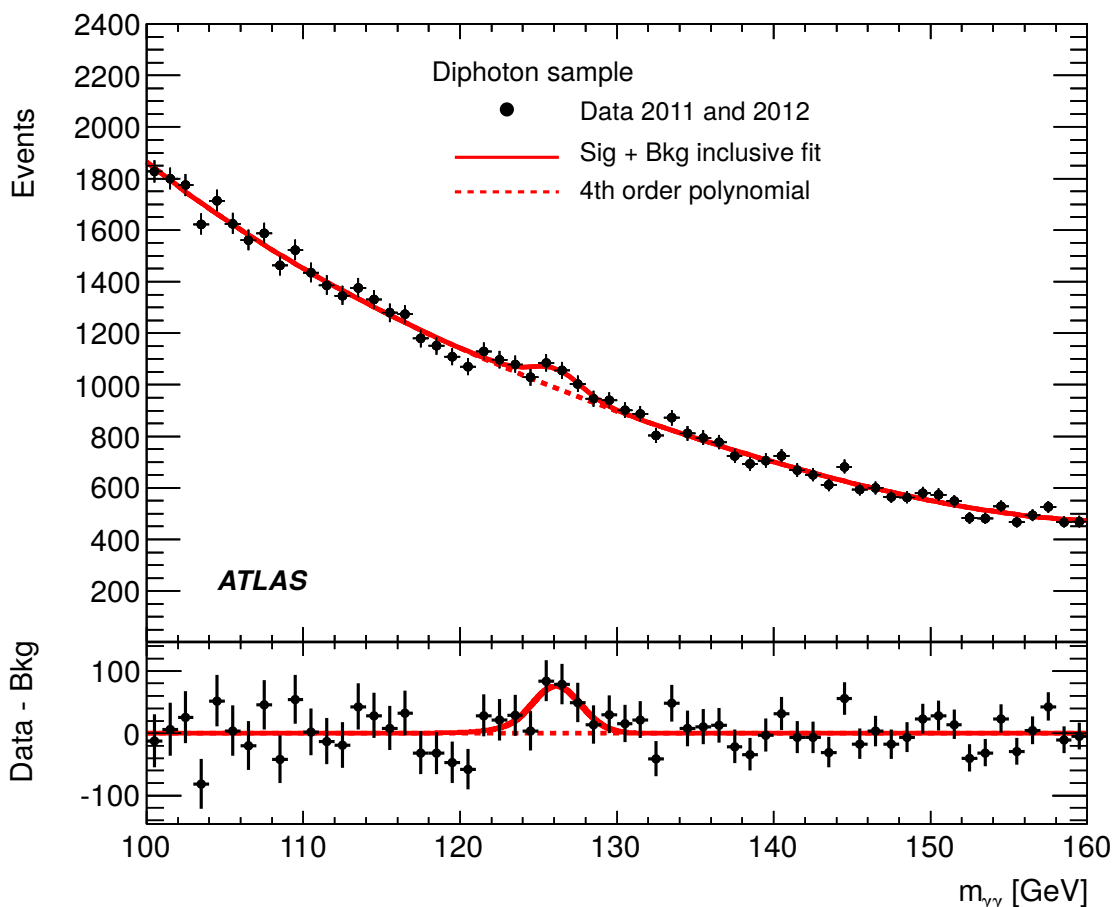


Fig. 3 – Distribution de la masse invariante $m_{\gamma\gamma}$ mesurée pour tous les événements avec 2 photons de haute énergie dans l'expérience ATLAS au LHC (points noirs). En pointillés rouges, modélisation du fonds dû à toutes les autres réactions produisant principalement deux photons gamma. Première analyse du canal "diphoton", thèse de doctorat de Heberth Torres (soutenue en 2013), LPNHE.

4.4 — La figure 3 représente la distribution de la masse invariante $m_{\gamma\gamma}$ pour les événements où sont apparus deux photons γ de haute énergie. Il s'agit du premier lot de mesures effectuées dans l'expérience ATLAS au LHC, ayant permis la découverte du Higgs. Déduisez-en la masse du boson de Higgs.

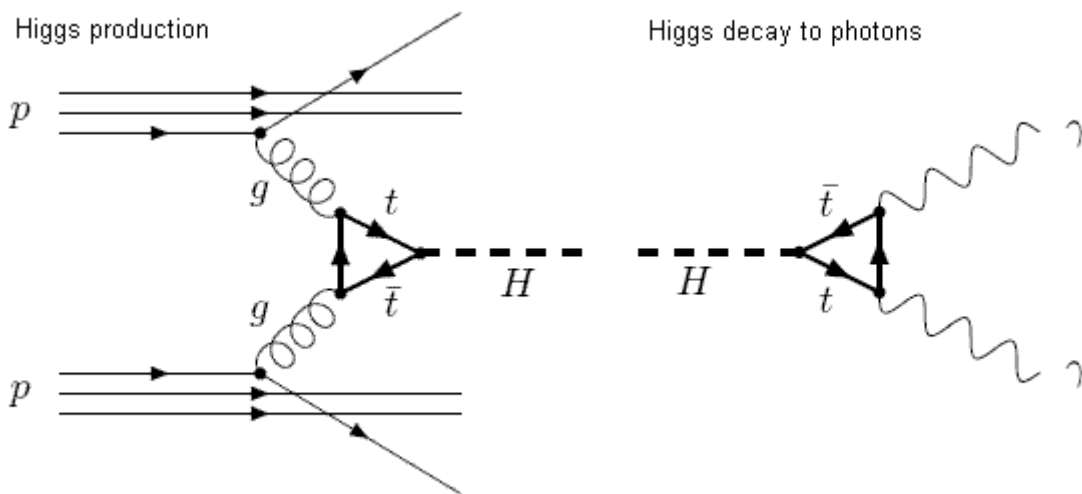


Fig. 4 – Diagrammes de Feynman (le temps va de gauche à droite) : à gauche, production d’un boson de Higgs dans une collision de protons par fusion de gluons (les protons sont “détruits” dans ce type de collision); à droite, désintégration du boson de Higgs en deux photons.

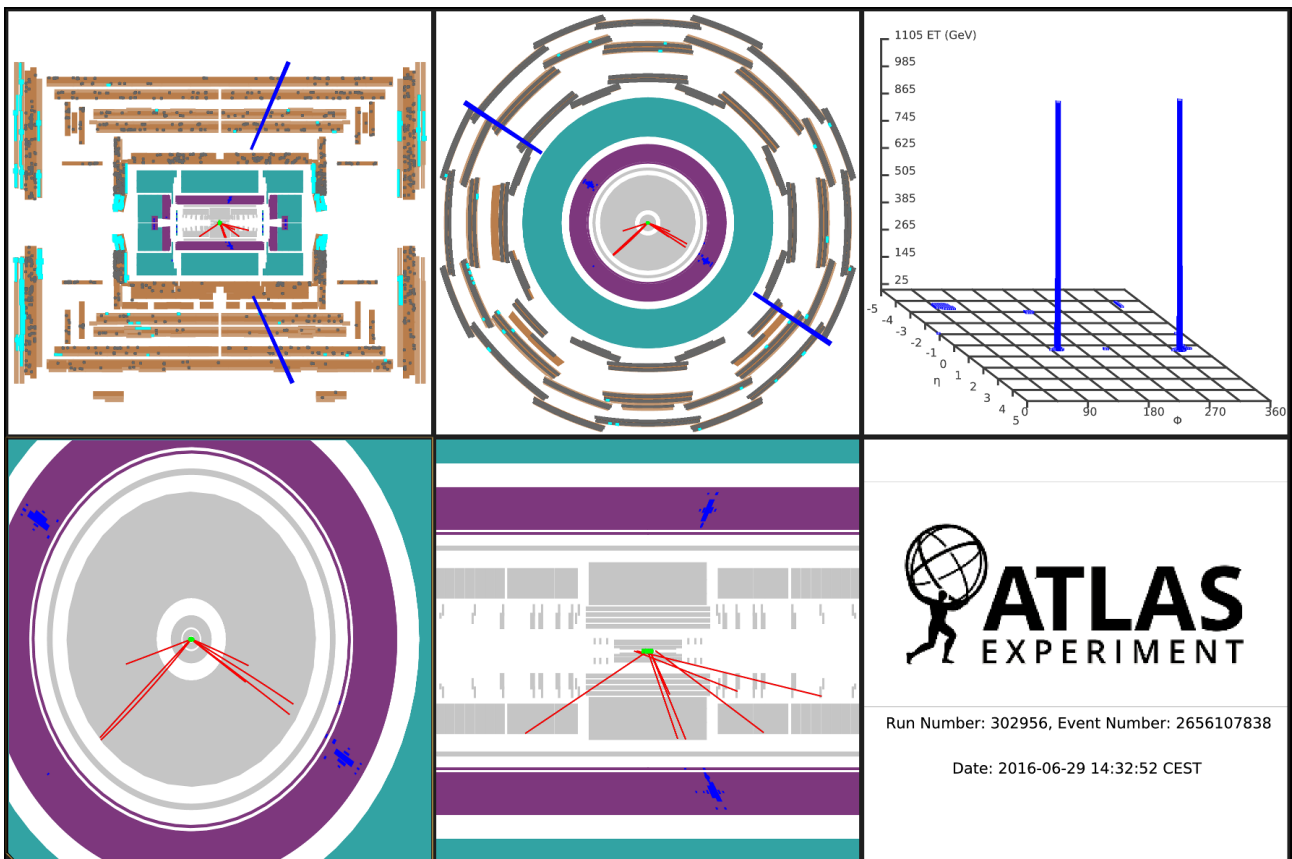


Fig. 5 – Événement avec production de deux photons isolés de haute énergie dans l’état final. Expérience ATLAS, LHC. Les deux photons gamma se convertissent dans le détecteur, et forment deux gerbes de particules chargées (dépôts d’énergie indiqués en bleu)